Вопросы онкологии, 2025. Том 71, № 5 УДК 616.71-006.33 DOI 10.37469/0507-3758-2025-71-5-OF-2426



 $^{\circ}$ А.А. Лемаева 1 , И.А. Гулидов 1 , К.Е. Медведева 1 , С.А. Иванов 1,2 , А.Д. Каприн 2,3,4

Эффективность и безопасность протонной терапии при хордомах и хондросаркомах основания черепа: анализ трехлетних результатов

¹Медицинский радиологический научный центр имени А.Ф. Цыба — филиал Федерального государственного бюджетного учреждения «Национальный медицинский исследовательский центр радиологии» Министерства здравоохранения Российской Федерации, г. Обнинск, Российская Федерация

²Федеральное государственное автономное образовательное учреждение высшего образования
«Российский университет дружбы народов имени Патриса Лумумбы», Москва, Российская Федерация

³Федеральное государственное бюджетное учреждение «Национальный медицинский исследовательский
центр радиологии» Министерства здравоохранения Российской Федерации, Москва, Российская Федерация

⁴Московский научно-исследовательский онкологический институт имени П.А. Герцена — филиал Федерального
государственного бюджетного учреждения «Национальный медицинский исследовательский центр радиологии»
Министерства здравоохранения Российской Федерации, Москва, Российская Федерация

© Alyona A. Lemaeva¹, Igor A. Gulidov¹, Kira E. Medvedeva¹, Sergei A. Ivanov^{1,2}, Andrei D. Kaprin^{2,3,4}

Efficacy and Safety of Proton Therapy for Skull Base Chordomas and Chondrosarcomas: An Analysis of Three-Year Outcomes

¹A. Tsyb Medical Radiological Research Centre — branch of the National Medical Research Radiological Centre of the Ministry of Health of the Russian Federation, Obninsk, the Russian Federation
 ²Peoples Friendship University of Russia, Moscow, the Russian Federation
 ³National Medical Research Radiological Centre of the Ministry of Health of the Russian Federation, Moscow, the Russian Federation

⁴P. Hertsen Moscow Oncology Research Institute – branch of the National Medical Research Radiological Centre of the Ministry of Health of the Russian Federation, Moscow, the Russian Federation

Введение. Хордомы и хондросаркомы основания черепа — редкие радиорезистентные опухоли с высокой склонностью к локальным рецидивам, требующие комплексного подхода в лечении. Наиболее оптимальным методом лечения данных новообразований исторически считается протонная терапия сканирующим пучком.

Цель. Оценить эффективность и безопасность протонной терапии с использованием сканирующего пучка при лечении хордом и хондросарком основания черепа.

Материалы и методы. В исследование были включены пациенты с хордомой и хондросаркомой основания черепа, которым была проведена протонная терапия на комплексе протонной терапии «Прометеус» (ЗАО «Протом») на базе МРНЦ им. А.Ф. Цыба. Планы лучевой терапии подготовлены с применением планирующей системы ProtomTherapyPlanner ver. 1.12-2.14 и алгоритма Монте-Карло. Были оценены показатели общей выживаемости, локального контроля и токсичности. Оценка ответа опухоли проводилась согласно критериям RECIST 1.1. Токсичность лечения определялась с использованием критериев классификации СТСАЕ v5.0.

Результаты. С 2016 по 2024 г. в исследовании приняли участие 62 пациента с хордомой (n = 46) и хондросаркомой (n = 16) основания черепа. Медиана наблюдения составила три года. Медиана объема GTV была равна 23 см³ (IQR = 12–39). Средняя СОД составила 70 изоГр (64–74 изоГр). Однолетняя и трехлетняя общая выживаемость — 98,4 и 94,1 % соответственно. Локальный контроль в течение первого года составил 100 %, а в течение третьего года — 77,9 %. Пациенты со статусом ECOG 0-1 имели статистически значимо лучшие показатели выживаемости и локального контроля (р < 0,05). У пациентов без

Introduction. Skull base chordomas and chondrosarcomas are rare, radioresistant tumors characterized by high rates of local recurrence and requiring multidisciplinary management. Scanning beam proton therapy has historically been regarded as the optimal radiation modality for these neoplasms.

Aim. To evaluate the efficacy and safety of scanning beam proton therapy for skull base chordomas and chondrosarcomas.

Materials and Methods. The study included patients with skull base chordomas or chondrosarcomas treated with proton therapy using the Prometheus proton therapy system at the A. Tsyb Medical Radiological Research Center. Treatment plans were developed using ProtomTherapyPlanner software (versions 1.12–2.14) with Monte Carlo algorithm optimization. Outcomes assessed included overall survival, local control, and treatment toxicity. Tumor response was evaluated according to RECIST 1.1 criteria, and toxicity was graded using CTCAE v5.0.

Results. Between 2016 and 2024, 62 patients with chordoma (n = 46) and chondrosarcoma (n = 16) were enrolled. Median follow-up was 3 years. The median gross tumor volume (GTV) was 23 cm³ (IQR 12–39), and the median total radiation dose delivered was 70 GyRBE (range 64–74 GyRBE). Overall survival rates at 1 and 3 years were 98.4 and 94.1 %, respectively. Local control rates were 100 % during the 1st year and 77.9 % during the 3d year. Patients with ECOG performance status 0–1 demonstrated significantly better survival and local control outcomes (p < 0.05). Lower local control rates were observed in non-operated patients and those with tumors adjacent

хирургического лечения в анамнезе с опухолью, расположенной вблизи ствола головного мозга, наблюдались более низкие показатели локального контроля. Лучевые осложнения тяжелой степени тяжести отмечены у 1,6 % пациентов.

Выводы. Применение протонной терапии сканирующим пучком обеспечило высокие показатели общей выживаемости и локального контроля при низкой токсичности. Лучшие результаты лечения отмечались у пациентов с удовлетворительным соматическим статусом (ЕСОБ 0-1), проходивших комбинированную терапию. Кроме того, локализация опухоли вблизи ствола головного мозга отрицательно влияла на показатели локального контроля.

Ключевые слова: хордома; хондросаркома; основание черепа; протонная терапия

Для цитирования: Лемаева А.А., Гулидов И.А., Медведева К.Е., Иванов С.А., Каприн А.Д. Эффективность и безопасность протонной терапии при хордомах и хондросаркомах основания черепа: анализ трехлетних результатов. Вопросы онкологии. 2025; 71(5): 1020-1028.-DOI: 10.37469/0507-3758-2025-71-5-OF-2426

to the brainstem. Severe (grade \geq 3) radiation complications occurred in 1.6 % of patients.

Conclusion. Scanning beam proton therapy achieved high overall survival and local control rates with minimal toxicity. Optimal outcomes were observed in patients with good performance status (ECOG 0-1) receiving combined modality treatment. Tumor proximity to the brainstem was associated with reduced local control.

Keywords: chordoma; chondrosarcoma; skull base; proton therapy

For Citation: Alyona A. Lemaeva, Igor A. Gulidov, Kira E. Medvedeva, Sergei A. Ivanov, Andrei D. Kaprin. Efficacy and safety of proton therapy for skull base chordomas and chondrosarcomas: An analysis of three-year outcomes. *Voprosy Onkologii = Problems in Oncology*. 2025; 71(5): 1020-1028.-DOI: 10.37469/0507-3758-2025-71-5-OF-2426

Введение

Хордомы и хондросаркомы основания черепа — редкие злокачественные новообразования, частота встречаемости которых среди всех внутричерепных опухолей не превышает 0,2 % [1, 2]. Данные опухоли характеризуются низким метастатическим потенциалом, высокой предрасположенностью к локальным рецидивам, а также медленным, локально инвазивным ростом. Хордомы развиваются из остатков хорды и наиболее часто расположены в области ската при внутричерепной локализации опухоли. Хондросаркомы возникают из хрящевой ткани и чаще локализуются в петрокливальной области.

Современный подход к лечению данных новообразований включает в себя хирургическое удаление опухоли с последующей лучевой терапией [3, 4]. Основная цель хирургического вмешательства заключается в выполнении максимально возможной радикальной резекции, что зачастую невозможно, учитывая сложную анатомию основания черепа, а также близость опухоли к сосудисто-нервным структурам [5]. Согласно литературным данным, частота полной резекции не превышает 60 % [6–9].

Благодаря достижениям в области хирургии, развитию методов лучевой терапии результаты лечения пациентов с хордомами и хондросаркомами основания черепа улучшились. По данным литературы, после проведенного хирургического и лучевого лечения пятилетний локальный контроль находится в пределах 73–100 %, общая выживаемость — в пределах 62–100 % [10–14]. Однако ввиду редкой распространенности данных новообразований, отсутствуют данные рандомизированных клинических исследований; большая часть имею-

щихся сведений основана на крупных сериях случаев из ведущих центров.

Общепризнано, что для достижения оптимального локального контроля необходимы суммарные дозы облучения более 70 Гр, т. к. данные опухоли являются радиорезистентными. В то же время такие высокие дозы лучевой терапии повышают риски лучевых осложнений. При планировании лучевой терапии перед специалистами возникает сложная задача по оптимизации распределения необходимой радикальной дозы в сложных целевых объемах при условии соблюдения допустимых ограничений на органы риска [3, 4, 15].

Физические свойства протонов, благодаря наличию пика Брэгга, позволяют существенно уменьшить дозу облучения, воздействующую на здоровые ткани, и увеличить дозу в области опухоли по сравнению с фотонной терапией [16, 17]. Наиболее современным и прецизионным методом протонной терапии является подход с использованием сканирующего пучка протонов с модуляцией интенсивности (Intensity-modulated radiotherapy — IMPT) [10, 12, 18]. Цель данного исследования заключается в оценке эффективности и безопасности протонной терапии с использованием сканирующего пучка при лечении хордом и хондросарком основания черепа.

Материалы и методы

В рамках одноцентрового проспективного исследования, проведенного в МРНЦ им. А.Ф. Цыба, представлен опыт применения протонной терапии для лечения хордом и хондросарком, локализованных в области основания черепа. Данное клиническое исследование было одобрено локальным этическим комитетом (протокол № 185 от 16.02.2016).

Критерии включения были следующие: возраст старше 18 лет, статус ECOG (Eastern Cooperative Oncology Group) не выше 3, морфологически и/или клинико-рентгенологически верифицированный диагноз хордомы или хондросаркомы основания черепа, а также подписанное информированное добровольное согласие на участие в исследовании.

Критерии исключения: возраст моложе 18 лет, беременность или лактация, наличие тяжелых сопутствующих заболеваний (диабет в стадии декомпенсации, стенокардия напряжения и т. д.), психических (шизофрения, психозы, аффективно-бредовые состояния), инфекционных, заболеваний, аллергических состояний, которые, по мнению исследователя, могут препятствовать проведению предусмотренных протоколом лечебных и диагностических мероприятий, статус ЕСОБ — более 3, наличие неконтролируемых опухолевых осложнений, отсутствие подписанного информированного добровольного согласия на участие в исследовании.

У пациентов были проанализированы следующие данные: статус ECOG, ранее проведенное лечение, дозиметрические планы лучевой терапии, близость расположения опухоли к критическим структурам, дозы протонного облучения, объемы облучения.

Перед началом лечения включенным в исследование пациентам была выполнена магнитная резонансная томография (МРТ) головного мозга с контрастным усилением в режимах Т1 и Т2 для дальнейшего планирования курса протонной терапии. Были также изготовлены стандартные иммобилизирующие устройства (термопластические маски), которые использовались для обеспечения воспроизведения положения пациента.

Общий объем опухоли (Gross Tumor Volume — GTV) определялся как видимый объем опухоли или ложе опухоли. Клинический целевой объем (Clinical Tumor Volume — CTV) включал объем опухоли до операции, остаточную опухоль, определяемую с помощью компьютерной томографии (КТ) и МРТ, и отступ 10 мм, с анатомической адаптацией, которая состояла в исключении из объема облучения ствола головного мозга, оптических нервов, хиазмы, неповрежденной мозговой ткани и других критических структур. Отступ на планируемый целевой объем (Planning Target Volume — PTV) равнялся 3 мм. В основном, лечение проводилось в два этапа с последовательным уменьшением полей облучения: на первом этапе терапия подводилась до 50 изоГр на область CTV, на втором — до 70-74 изоГр на область GTV. Лечение проводилось в режиме традиционного фракционирования, РОД облучения составляла 2 изоГр.

Лечение выполнялось на отечественном комплексе протонной терапии «Прометеус» (ЗАО Протом), дозиметрическое планирование проводили в системе ProtomPlanner v1.12 с использованием алгоритма Монте-Карло. Протонная терапия осуществлялась с использованием метода фиксированного сканирующего пучка протонов в положении сидя на вращающемся кресле. Были использованы многопольные оптимизированные планы, обычно включающие пять-шесть полей. Относительная биологическая эффективность (ОБЭ) протонной дозы принималась равной 1.1. Контроль укладки пациента осуществлялся с помощью конусной КТ протонного комплекса.

При планировании лучевой терапии были использованы следующие ограничения на органы риска: на зрительные нервы и хиазму максимальная доза на 2 % объема (D_2) составляла 60 изо Γ р, на поверхность ствола головного мозга Dmax — 64 изо Γ р, на остальные органы риска ограничения были стандартны [13, 14, 19].

Клиническая оценка ответа опухоли проводилась по данным МРТ головного мозга с контрастным усилением один раз в 3 мес. в течение первого года наблюдения, в последующем контроль проводился один раз в полгода.

Была проведена оценка следующих исходов: общей выживаемости, локального контроля и токсичности.

Оценка ответа опухоли выполнена по критериям RECIST 1.1 (Response Evaluation Criteria in Solid Tumours — Критерии оценки ответа при солидных опухолях). Токсичность была оценена с использованием общих терминологических критериев неблагоприятных событий (Common Terminology Criteria for Adverse Events — CTCAE v 5.0).

Статистический анализ проводился с использованием программы StatTech v. 4.7.3. Оценка функции выживаемости пациентов проводилась по методу Каплана — Майера. Анализ выживаемости пациентов проводился по методу регрессии Кокса, подразумевающему прогнозирование мгновенного риска наступления события для рассматриваемого объекта в определенный момент времени (угрозы, hazard) и оценку влияния заранее определенных независимых переменных (предикторов) на этот риск. Рассчитывались отношения рисков с 95 % доверительными интервалами (hazard ratio — HR; 95 % ДИ), оценивалась статистическая значимость влияния каждого предиктора. Сравнение процентных долей при анализе четырехпольных таблиц сопряженности выполнялось с помощью точного критерия Фишера. Сравнение двух групп по количественному показателю, распределение которого отличалось от нормального, выполнялось с помощью U-критерия Манна — Уитни.

Таблица 1. Характеристика пациентов

Параметры		Всего M ± SD / Me	Хордомы M ± SD / Me	X ондросаркомы $M \pm SD / Me$	p	
Количество пациентов		62	46	16		
Возраст, лет		50 ± 15	51 ± 15	46 ± 15	0,209	
Пот	Женщины	35 (56,5 %)	24	11	0.291	
Пол	Мужчины	27 (43,5 %)	22	5	0,381	
ECOG 0		24 (38,7 %)	14	10		
ECOG 1		36 (58,1 %)	30	6	0,067	
ECOG 2		2 (3,1 %)	2	0		
Прилежание ствола головного мозга		42 (67,7 %)	36	6	0,005*	
Прилежание зрительных структур		10 (16,1 %)	9	1	0,430	
R0		3 (5,1 %)	2	1		
R1		5 (8,5 %)	3	2	0,761	
R2		51 (86,4 %)	38	13]	
Неоперированные		3 (4,8 %)	3	0	0,562	

Table 1. Patient characteristics

Parameter		$\begin{array}{c} All \\ M \pm SD \ / \ Me \end{array}$	Chordomas M ± SD / Me	Chondrosarcomas M ± SD / Me	p-value	
Number of patients		62	46	16		
Age (years)		50 ± 15	51 ± 15	46 ± 15	0.209	
Male		35 (56.5 %)	24	11	0.201	
Sex	Female	27 (43.5 %)	22	5	0.381	
ECOG 0		24 (38.7 %)	14	10		
ECOG 1		36 (58.1 %)	30	6	0.067	
ECOG 2		2 (3.1 %)	2	0		
Brainstem apposition		42 (67.7 %)	36	6	0.005*	
Visual structure apposition		10 (16.1 %)	9	1	0.430	
R0		3 (5.1 %)	2	1		
R1		5 (8.5 %)	3	2	0.761	
R2		51 (86.4 %)	38	13]	
Non-operated		3 (4.8 %)	3	0	0.562	

Таблица 2. Параметры протонной терапии

Параметр	Всего	Хордомы	Хондросаркомы	p
СОД (изоГр), Ме	70	70	70	0,204
Объем GTV (см ³), Ме	23	23	22	0,818
Доза на ствол головного мозга (изоГр), Ме	57	58	51	0,012*
Доза на спинной мозг (изоГр), Ме	21	30	13	0,120
Доза на левый зрительный нерв (изоГр), Ме	49	50	46	0,587
Доза на правый зрительный нерв (изоГр), Ме	46	48	46	0,491
Доза на зрительный перекрест (изоГр), Ме	50	51	45	0,236

Table 2. Proton therapy parameters

Parameter	All	Chordomas	Chondrosarcomas	p-value
Total dose (Gy _{RBE}), Me	70	70	70	0.204
GTV volume (cm³), Me	23	23	22	0.818
Brainstem dose (Gy _{RBE}), Me	57	58	51	0.012*
Spinal cord dose (Gy _{RBE}), Me	21	30	13	0.120
Left optic nerve dose (Gy _{RBE}), Me	49	50	46	0.587
Right optic nerve dose (Gy _{RBE}), Me	46	48	46	0.491
Optic chiasm dose (Gy _{RBE}), Me	50	51	45	0.236

Результаты

На сегодняшний день в исследование вошло 62 пациента: 46 — с хордомами, и 16 — с хондросаркомами, локализованными в области основания черепа. Диагноз был морфологически подтвержден у 59 человек. Все пациенты получили курс протонной терапии в МРНЦ им. А.Ф. Цыба с 2016 по 2024 г.

Характеристика пациентов представлена в табл. 1. У большинства (96,8 %) был удовлетворительный статус ECOG. Основные жалобы до лечения: головная боль, головокружение, диплопия, снижение остроты зрения, птоз, снижение слуха. Прилежание ствола головного мозга чаще встречалось при хордомах (р = 0,005).

Сводные данные о параметрах проведенной протонной терапии представлены в табл. 2. Медиана объема GTV была равна 23 см 3 (IQR = 12–39). Средняя СОД составила 70 изоГр

 $(64-74 \text{ изо}\Gamma p)$. Максимальная доза, которая приходилась на ствол головного мозга, была выше при хордомах (р = 0,012).

По техническим причинам один пациент получил сочетанную лучевую терапию: на первом этапе — фотонную лучевую терапию до СОД 40 Гр, на втором — протонную до СОД 70 изо-Гр.

Медиана срока наблюдения после протонного облучения составила три года (IQR = 1,4-4,7 года).

При анализе общей выживаемости у исследуемых пациентов (рис. 1) были получены высокие показатели: одно-, двух и трехлетняя выживаемость составили 98,4 % (95 % ДИ: 89,1–99,8 %), 94,1 % (95 % ДИ: 82,6–98,1 %) и 94,1 % (95 % ДИ: 82,6–98,1 %) соответственно. Медиана выживаемости не была достигнута. Показатели общей выживаемости в зависимости от морфологии опухоли представлены в табл. 3.

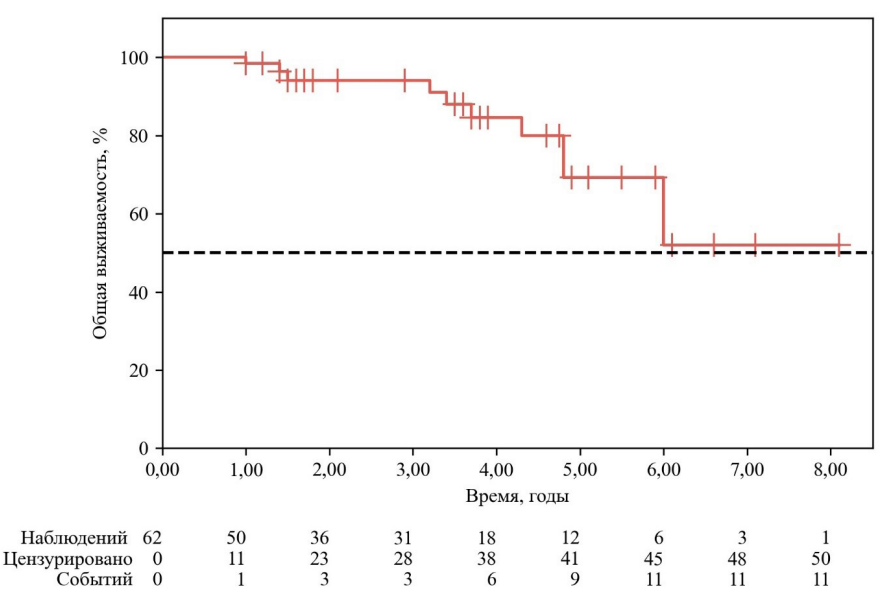


Рис. 1. Общая выживаемость пациентов с хордомами и хондросаркомами основания черепа после протонной терапии Fig. 1. Overall survival of patients with skull base chordomas and chondrosarcomas following proton therapy

Таблица 3. Показатели общей выживаемости и локального контроля в зависимости от морфологии опухоли

Chora mogration and a	Хордомы		Хондросаркомы		
Срок наблюдения	общая выживаемость	локальный контроль	общая выживаемость	локальный контроль	
1 год	97,8 %	100,0 %	100,0 %	100,0 %	
2 года	92,0 %	89,8 %	100 %	88,9 %	
3 года	92,0 %	73,8 %	100,0 %	88,9 %	

Table 3. Overall survival and local control rates by tumor morphology

Observation manied	Chordomas		Chondrosarcomas	
Observation period	overall survival	local control	overall survival	local control
1 year	97.8 %	100.0 %	100.0 %	100.0 %
2 years	92.0 %	89.8 %	100 %	88.9 %
3 years	92.0 %	73.8 %	100.0 %	88.9 %

Таблица 4. Результаты многофакторного анализа

	Многофакторный анализ					
Фактор риска	локальный і	контроль	общая выживаемость			
	ОР; 95 % ДИ	p	ОР; 95 % ДИ	p		
ECOG-статус	6,622; 0,724–60,591	0,094	6,588; 1,262–34,394	0,025*		
Хирургическое лечение	0,085; 0,014–0,504	0,007*	0,199; 0,022–1,801	0,151		
Прилежание ствола	9,735; 1,099–86,202	0,041*	22836181,560; 0,000–inf	0,995		

Примечание: ОР — отношение рисков.

Table 4. Multivariate analysis of prognostic factors

		Multivariate analysis					
Risk factor	local control		overall survival				
	HR (95% CI)	p-value	HR (95% CI)	p-value			
ECOG-status	6.622 (0.724–60.591)	0.094	6.588 (1.262–34.394)	0.025*			
Surgical treatment	0.085 (0.014-0.504)	0.007*	0.199 (0.022–1.801)	0.151			
Brainstem apposition	9.735 (1.099–86.202)	0.041*	22836181.560 (0.000–∞)	0.995			

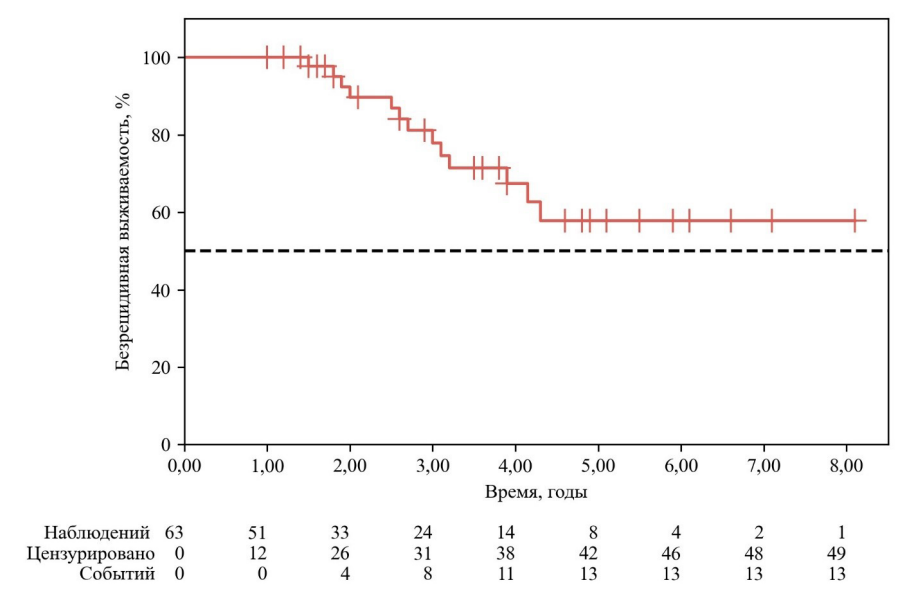


Рис. 2. Локальный контроль пациентов с хордомами и хондросаркомами основания черепа после протонной терапии Fig. 2. Local control rates in patients with skull base chordomas and chondrosarcomas following proton therapy

При однофакторном анализе оценивались следующие критерии: пол, возраст, морфологический тип опухоли, статус ECOG, прилежание зрительных структур и ствола головного мозга, наличие или отсутствие хирургического этапа лечения и объем резекции, объем GTV.

Однофакторный анализ показал, что более низкие показатели общей выживаемости определяются у пациентов с ECOG-статусом 2 (p = 0.041) с локализацией опухоли вблизи ствола головного мозга (p = 0.022).

Опираясь на данные однофакторного анализа, для последующего многофакторного анализа были отобраны три критерия, которые ранее показали свою статистическую значимость или тенденцию к ней: статус ECOG, хирургическое лечение в анамнезе, прилежание ствола головного мозга. Результаты представлены в табл. 4.

Было показано, что пациенты с хорошим соматическим статусом (ECOG 0-1) имеют более высокие показатели общей выживаемости.

Локальный контроль опухоли за первый год наблюдения составил 100 % (95 % ДИ: 100-100 %), за второй год — 89,7 % (95 % ДИ: 74,6-96,0 %), за третий год — 77,9 % (95 %: ДИ 60,4-88,4 %) (рис. 2).

Среднее время до развития рецидива заболевания после проведенной протонной терапии составило 32 ± 17 мес.

Анализ факторов, влияющих на локальный контроль, показал, что при локализации опухоли вблизи ствола головного мозга определяются более низкие показатели локального контроля (p = 0.049).

По результатам многофакторного анализа (табл. 3) было выявлено, что пациенты, опухоль



фология, размер опухоли и прилежание ствола головного мозга [12, 13].

В текущем исследовании, согласно результатам проведенного многофакторного анализа, было установлено, что пациенты со статусом ЕСОБ 0-1 имеют более высокие показатели общей выживаемости. Локализация опухоли вблизи ствола головного мозга и отсутствие хирургического лечения в анамнезе отрицательно влияют на показатели локального контроля.

Одним из ограничений данного исследования, как и работ других авторов, является низкая мощность статистического анализа ввиду малой выборки пациентов.

Все операции проводились в других учреждениях, что усложняло маршрутизацию пациентов и приводило к неоднородности данных об оперативном лечении. Часть пациентов (12,5 %) была прооперирована несколько раз, прежде чем им был проведен курс протонной терапии.

Как было показано, гистологические различия между хордомами и хондросаркомами имеют важное прогностическое значение. Высокие показатели локального контроля и общей выживаемости (более 90 %) могут быть достигнуты даже при больших размерах хондросарком; эффективность лучевой терапии при хордомах, в свою очередь, немного ниже. В представленной нами работе показатели общей выживаемости и локального контроля также были чуть выше у пациентов с хондросаркомами, но статистически значимых различий выявлено не было. В данном исследовании не был проведен анализ гистологических подтипов хордом и хондросарком, т. к. в большинстве случаев в заключении по морфологическому исследованию эти данные не были указаны.

Тем не менее, несмотря на ограничения исследования, наш опыт является одним из наиболее представительных в рамках мирового. Полученные результаты по эффективности и безопасности протонной терапии сопоставимы с литературными данными. Для достижения лучших результатов лечения всем пациентам, прооперированным по поводу хордом или хондросарком основания черепа, необходима консультация врача-радиотерапевта для решения вопроса о необходимости проведения послеоперационного курса лучевой терапии. Как было показано, комбинированный метод сопряжен с более высокими результатами лечения. Уменьшение объема остаточной опухоли и степени вовлечения критических структур повышает вероятность локального контроля.

Заключение

Применение протонной терапии сканирующим пучком обеспечило высокие показатели

общей выживаемости и локального контроля при низкой токсичности. Лучшие результаты лечения отмечались у пациентов с удовлетворительным соматическим статусом (ECOG 0-1), проходивших комбинированную терапию. Кроме того, локализация опухоли вблизи ствола головного мозга отрицательно влияла на показатели локального контроля.

Конфликт интересов

Авторы заявляют об отсутствии конфликта интересов. Conflict of interest

The authors declare no conflict of interest.

Финансирование

Исследование не имело спонсорской поддержки. Funding

The work was performed without external funding.

Соблюдение прав пациентов и правил биоэтики

Исследование выполнено в соответствии с Хельсинкской декларацией ВМА в редакции 2013 г. Проведение данной работы одобрено локальным этическим комитетом МРНЦ им. А.Ф. Цыба, протокол № 185 от 16 декабря 2016 г. Все больные подписывали информированное согласие на участие в исследовании.

Compliance with patient rights and principles of bioethics All procedures performed in studies involving human participants were in accordance with the ethical standards of Declaration of Helsinki Protocol (2013). The study protocol received approval from the Local Ethics Committee of the A.F. Tsyb Medical Radiological Research Center (Protocol No. 185, December 16, 2016). Written informed consent was obtained from all participants prior to their inclusion in the study.

Участие авторов

Лемаева А.А. — ведение пациентов, сбор материала исследования, обработка материала, написание текста статьи, анализ и интерпретация данных;

Гулидов И.А. — идея публикации, научное редактирование; Медведева К.Е. — ведение пациентов, сбор материала исследования;

Иванов С.А., Каприн А.Д.— научное редактирование.

Все авторы одобрили финальную версию статьи перед публикацией, выразили согласие нести ответственность за все аспекты работы, подразумевающую надлежащее изучение и решение вопросов, связанных с точностью или добросовестностью любой части работы.

Authors' contributions

Lemaeva A.A.: patient management, data collection, data processing, manuscript writing, data analysis and interpretation; Gulidov I.A.: conceptualization, scientific editing;

Medvedeva K.E.: patient treatment, collection of research material:

Ivanov S.A., Kaprin A.D.: scientific editing.

All authors contributed substantially to the work's conception, data acquisition, analysis, and interpretation; participated in drafting and revising the manuscript; approved the final version for publication; and agree to be accountable for all aspects of the work.

ЛИТЕРАТУРА/ REFERENCES

 Mizerny B.R., Kost K.M. Chordoma of the cranial base: the McGill experience. J Otolaryngol. 1995; 24(1): 14-9.

- Lee S.Y., Lim Y.C., Song M.H., et al. Chondrosarcoma of the head and neck. *Yonsei Med J.* 2005; 46(2): 228-32.-DOI: https://doi.org/10.3349/ymj.2005.46.2.228.
- Biermann J.S., Hirbe A., Ahlawat Sh., et al. Bone cancer. NCCN Guidelines: NCCN. 2025; version 2.2025: 53-57.-URL: https://www.nccn.org/professionals/physician_gls/pdf/bone.pdf.
- Casali P.G., Bielack S., Abecassis N., et al.; ESMO Guidelines Committee, PaedCan and ERN EURACAN. Bone sarcomas: ESMO-PaedCan-EURACAN Clinical Practice Guidelines for diagnosis, treatment and follow-up. *Ann Oncol.* 2018; 29(Suppl 4): 79-95.-DOI: https://doi.org/10.1093/annonc/mdy310.
- Tzortzidis F., Elahi F., Wright D., et al. Patient outcome at longterm follow-up after aggressive microsurgical resection of cranial base chordomas. *Neurosurgery*. 2006; 59(2): 230-7.-DOI: https://doi.org/10.1227/01.neu.0000223441.51012.9d.
- Samii A., Gerganov V., Herold C., et al. Surgical treatment of skull base chondrosarcomas. *Neurosurg Rev.* 2009; 32: 67-75.-DOI: https://doi.org/10.1007/s10143-008-0170-4.
- Tzortzidis F., Elahi F., Wright D.C., et al. Patient outcome at long-term follow-up after aggressive microsurgical resection of cranial base chondrosarcomas. *Neurosurgery*. 2006; 58: 1090-8.-DOI: https://doi.org/10.1227/01.neu.0000215892.65663.54.
- Sekhar L.N., Pranatartiharan R., Chanda A., et al. Chordomas and chondrosarcomas of the skull base: Results and complications of surgical management. *Neurosurg Focus*. 2001; 10: 1-4.-DOI: https://doi.org/10.3171/foc.2001.10.3.3.
- 9. Almefty K., Pravdenkova S., Colli B.O., et al. Chordoma and chondrosarcoma: similar, but quite different, skull base tumors. *Cancer*. 2007; 110(11): 2457-67.-DOI: https://doi.org/10.1002/cncr.23073.
- Weber D.C., Rutz H.P., Pedroni E.S., et al. Results of spot-scanning proton radiation therapy for chordoma and chondrosarcoma of the skull base: The Paul Scherrer Institut experience. *Int J Radiat Oncol Biol Phys.* 2005; 63: 401-9.-DOI: https://doi.org/10.1016/j.ijrobp.2005.02.023.
- 11. Ares C., Hug E.B., Lomax A.J., et al. Effectiveness and safety of spot scanning proton radiation therapy for chordomas and chondrosarcomas of the skull base: first long-term report. *Int J Radiat Oncol Biol Phys.* 2009; 75(4): 1111-8.-DOI: https://doi.org/10.1016/j.ijrobp.2008.12.055.
- Weber D.C., Malyapa R., Albertini F., et al. Long term outcomes of patients with skull-base low-grade chondrosarcoma and chordoma patients treated with pencil beam scanning proton therapy. *Radiother Oncol.* 2016; 120(1): 169-74.-DOI: https://doi.org/10.1016/j.radonc.2016.05.011.
- Hug E.B., Loredo L.N., Slater J.D. Proton radiation therapy for chordomas and chondrosarcomas of the skull base. J Neu-

- rosurg. 1999; 91(3): 432-9.-DOI: https://doi.org/10.3171/jns.1999.91.3.0432.
- Munzenrider J.E., Liebsch N.J. Proton therapy for tumors of the skull base. *Strahlenther Onkol*. 1999; 175(S2): 57-63.-DOI: https://doi.org/10.1007/bf03038890.
- Stacchiotti S., Sommer J. Building a global consensus approach to chordoma: A position paper from the medical and patient community. *Lancet Oncol*. 2015; 16(2): 71-83.-DOI: https://doi.org/10.1016/S1470-2045(14)71190-8.
- Palm R.F., Oliver D.E., Yang G.Q., et al. The role of dose escalation and proton therapy in perioperative or definitive treatment of chondrosarcoma and chordoma: an analysis of the National Cancer Data Base. *Cancer*. 2019; 125(4): 642-51.-DOI: https://doi.org/10.1002/cncr.31958.
- Holtzman A.L., Bates J.E., Morris C.G., et al. Impact of type of treatment center and access to care on mortality and survival for skull base chordoma and chondrosarcoma. *J Neurol Surg B Skull Base*. 2021; 83(3): 328-38.-DOI: https://doi.org/10.1055/s-0040-1722228.
- Liu H., Chang J.Y. Proton therapy in clinical practice. *Chin J Cancer*. 2011; 30(5): 315-26.-DOI: https://doi.org/10.5732/cjc.010.10529.
- Stacchiotti S., Sommer J., et al. Building a global consensus approach to chordoma: a position paper from the medical and patient community. *Lancet Oncol*. 2015; 16(2): e71-83.-DOI: https://doi.org/10.1016/S1470-2045(14)71190-8.
- 20. Валиев А.К., Тепляков В.В., Мусаев Э.Р., et al. Практические рекомендации по лечению первичных злокачественных опухолей костей. Злокачественные опухоли. 2022; 12(3s2): 323-325.-DOI: https://doi.org/10.18027/2224-5057-2022-12-3s2-307-329.-URL: https://rosoncoweb.ru/standarts/RUSSCO/2022/2022-17.pdf. [Valiev A.K., Teplyakov V.V., Musaev E.R., et al. Practical recommendations for the treatment of primary malignant bone tumors. Malignant tumors. 2022; 12(3s2): 323-325.-DOI: https://doi.org/10.18027/2224-5057-2022-12-3s2-307-329.-URL: https://rosoncoweb.ru/standarts/RUSSCO/2022/2022-17.pdf (In Rus)].
- Gordon K., Gulidov I., Koryakin S., et al. Proton therapy with a fixed beamline for skull-base chordomas and chondrosarcomas: outcomes and toxicity. *Radiat Oncol.* 2021; 16(1): 238.-DOI: https://doi.org/10.1186/s13014-021-01961-9.
- Lemaeva A., Gulidov I., Smyk D., et al. A single-center experience of the upright proton therapy for skull-base chordomas and chondrosarcomas: Updated results. *Clin Transl Radiat Oncol*. 2024; 48: 100814.-DOI: https://doi.org/10.1016/j.ctro.2024.100814.

Поступила в редакцию / Received / 01.07.2025 Прошла рецензирование / Reviewed / 21.07.2025 Принята к печати / Accepted for publication / 25.09.2025

Сведения об авторах / Author's information / ORCID

Алена Алексеевна Лемаева / Alyona A. Lemaeva / ORCID ID: https://orcid.org/0009-0000-2864-1211; SPIN: 4009-9167.

Игорь Александрович Гулидов / Igor A. Gulidov / ORCID ID: https://orcid.org/0000-0002-2759-297X; SPIN: 2492-5581.

Кира Евгеньевна Медведева / Kira E. Medvedeva / ORCID ID: https://orcid.org/0000-0001-6844-3076; SPIN: 4547-5933

Сергей Анатольевич Иванов / Sergei A. Ivanov / ORCID ID: https://orcid.org/0000-0001-7689-6032. Андрей Дмитриевич Каприн / Andrei D. Kaprin / ORCID ID: https://orcid.org/0000-0001-8784-8415.

